

- Biblio:
- Papon, Leblond, Reijer . Physique des transitions de phases - Concepts et applications .
  - Domini et Quaranta .
  - Chambre PC-PC<sup>c</sup> . Tec et doc
  - Garing . Phénomènes magnétiques
  - Notices des appareils .

Plan: I] Transition du premier ordre

- 1) Transition liquide-vapeur du SF<sub>6</sub> (hexafluorure de soufre)
- 2) Transition liquide-solide : surfusion du lithium
- 3) Transition solide-solide : transition Fe<sub>a</sub> ( $\Rightarrow$ ) Fe<sub>x</sub>.

II] Transition du second ordre

- 1) Phénomène d'opalescence critique
- 2) Transition ferromagnétique-paramagnétique .

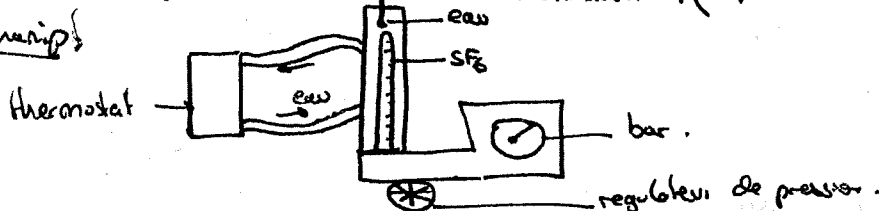
- Intro:
- 1) Distinction entre état et phase
  - 2) Définition transition de phase, changement d'état
  - 3) Classification des transitions de phases
- $\left\{ \text{chap 1: Papon.} \right.$

I] Transition de phase du premier ordre .

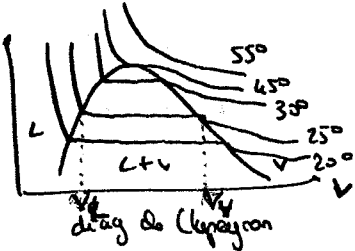
Def:  $\frac{\partial}{\partial T}$  continu à la transition mais pas ses dérivées  $\Rightarrow S, V, H$  discontinues  
 $\Rightarrow$  existence d'un chaleur latente  $L = \Delta H$

1) Transition liquide-vapeur du SF<sub>6</sub> thermomètre . (°C).

présentation de la manif



a) Tracé d'isothermes : observation du phénomène de changement d'état : équilibre liquide-vapeur .



→ tracé pour  $T = 20, 25, 30, 45, 55^\circ\text{C}$  au préparation .

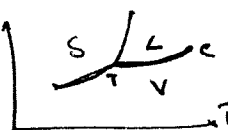
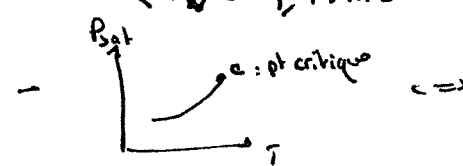
→ manif : prendre par exemple le volume d'  
 $V_g$  = d'apparition de la première bulle de gaz à  $25^\circ\text{C}$   
 $V_L$  : de disparition de la dernière goutte de liquide à  $25^\circ\text{C}$

On trouve  $V_L = 0,33 \text{ mL} \pm 0,02 \text{ mL}$

$V_g = 1,75 \text{ mL} \pm 0,02 \text{ mL}$

b) Tracé de  $P_{sat} = f(T)$

Relève  $P_{sat}$  pour chaque isotherme



c) calcul de la chaleur latente molaire.

Formule de Clapeyron :

$$\frac{P(T)}{P_0} = \frac{dP_{\text{sat}}}{dT} \left( \frac{V_g - V_e}{R} \right) T$$

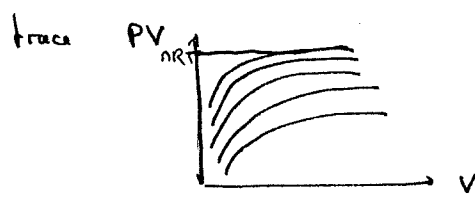
on se place à  $T = 298 \text{ K}$  car valeur tabulée  $P_{\text{sat}}(T) = 30 \text{ kJ.kg}^{-1}$ ;  $n(S_F) = 166,05 \text{ mol}$

$$\frac{dP_{\text{sat}}}{dT} = \frac{P_{\text{sat}}(30^\circ\text{C}) - P_{\text{sat}}(20^\circ\text{C})}{30 - 20} = \frac{26,7 \cdot 10^5 - 21,3 \cdot 10^5}{10} = 5,4 \cdot 10^4 \text{ Pa.K}^{-1}$$

$$T = 298 \text{ K}.$$

$$V_g = 0,83 \text{ mL} \pm 0,02 \text{ mL} \quad \text{et} \quad V_e = 1,75 \text{ mL} \pm 0,02 \text{ mL}$$

n?  $\Rightarrow$  détermination du nombre de mole.



qd  $V \rightarrow \infty$   $PV \rightarrow nRT$  (gas parfait).

donc l'asymptote aux différentes courbes =  $nRT$   
pour chaque courbe on calcule  $n = \frac{PV}{RT}$   
et on fait la moyenne.

$$\text{on trouve } n = 1,90 \cdot 10^{-3} \text{ mol} \pm 0,04 \text{ mol}$$

$$\frac{\Delta n}{n} = \frac{\Delta P}{P} + \frac{\Delta V}{V} + \frac{\Delta R}{R} + \frac{\Delta T}{T} \approx 2\%$$

↑      ↑      ↑      ↑  
0,2    0,02   constante   negligable car precision thermomètre  $\sim 1^\circ\text{C}$   
15      4      "      "  
"3%    "5%      à grand volume  $\Delta$

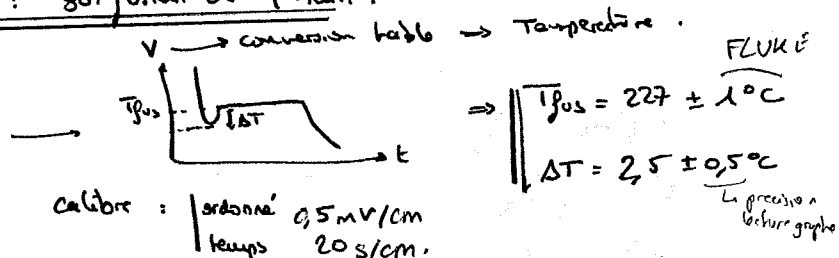
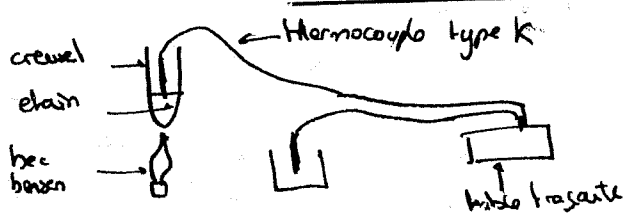
$$\text{Calcul de } \rho(T) = \frac{dP_{\text{sat}}}{dT} \frac{(V_g - V_e)}{n \cdot RT} \cdot T = \frac{5,4 \cdot 10^4}{10} \times \frac{(0,83 - 1,75) \cdot 10^{-6}}{1,90 \cdot 10^{-3} \cdot 166,05 \cdot 10^{-3}} \times 298 = -82,3 \text{ kJ.kg}^{-1}$$

$$\rho(T) = -82,3 \text{ kJ.kg}^{-1} \pm 8,2 \text{ kJ.kg}^{-1}$$

$$\frac{\Delta \rho}{\rho} = \frac{\Delta(P_{\text{sat}})}{dP_{\text{sat}}} + \frac{\Delta(dT)}{dT} + \frac{\Delta(V_g - V_e)}{(k(V_g - V_e))} + \frac{\Delta T}{T} + \frac{\Delta n}{n} + \frac{\Delta R}{R} \approx 10\%$$

↑      ↑      ↑      ↑      ↑      ↑  
0,02    0,02   negligable   negligable   2%  
15      4      "      "      "      "  
"3%    "5%      à pt volume   "      "  
"      "      6%      "

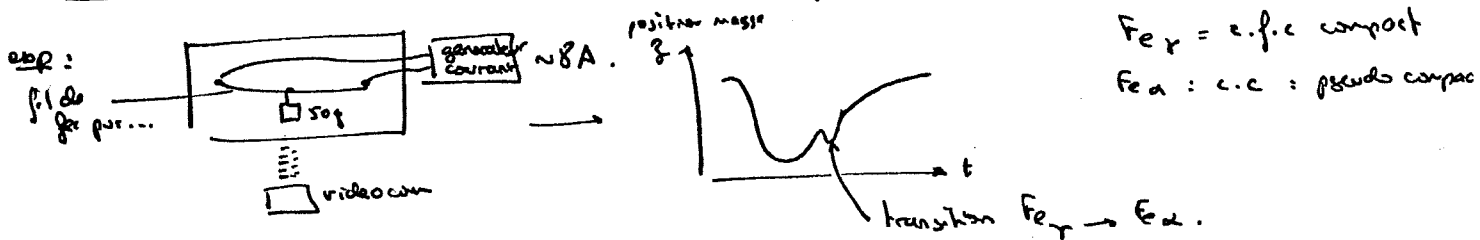
2) Transition liquide - solide : surfusion de l'étain.



Application : Gavage - verglas ...

### 3) Transition $Fe_\alpha \leftrightarrow Fe_\gamma$ : changement de variété allotropique

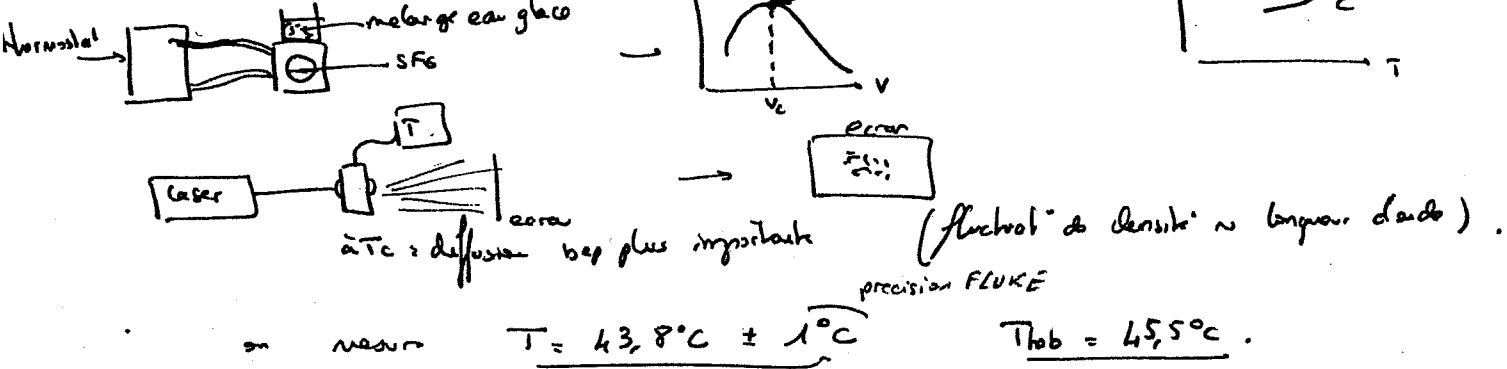
$T_{hab} = 914^\circ C$ , ici impossible à déterminer  $\rightarrow \theta^\circ$  non homogène du Gf?



$Fe_\gamma = e.f.c$  compact  
 $Fe_\alpha : c.c. =$  pseudo compact

### II] Transition de phase du second ordre

#### 1) Le phénomène d'opacité critique



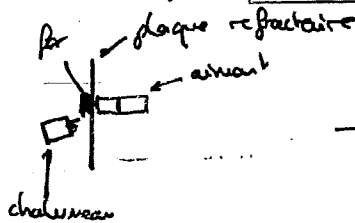
on mesure  $T = 43,8^\circ C \pm 1^\circ C$

$T_{hab} = 45,5^\circ C$ .

precision FLUKE

(fluctuation de densité ~ longueur d'onde).

#### 2) Transition ferro-paro du Fer



$\rightarrow$  à  $T = T_{curie}$   $\rightarrow$  le fer tombe = aimantation nulle  
transition ferro-paro.

$$\text{Loi de Curie-Weiss } \chi = \frac{a}{T - T_c} \quad (\text{para}).$$

